

$^{232}\text{Th}(\text{d,pn}\gamma)$  1993Ac02

Type	Author	History Citation	Literature Cutoff Date
Full Evaluation	E. Browne	NDS 107, 2579 (2006)	1-Nov-2004

E(p)=23, 28 MeV. Measured  $\gamma$  rays and conversion electrons in coincidence with conversion electrons from the  $4^+$  to  $2^+$  transition of the g.s. rotational band. Used four Compton-suppressed germanium detectors for  $\gamma$  rays and a magnetic orange spectrometer for conversion electrons.

 $^{232}\text{Th}$  Levels

E(level) <sup>†</sup>	J <sup><math>\pi</math></sup>	E(level) <sup>†</sup>	J <sup><math>\pi</math></sup>	E(level) <sup>†</sup>	J <sup><math>\pi</math></sup>
0.0 <sup>‡</sup>	0 <sup>+</sup>	557 <sup>‡</sup> 1	8 <sup>+</sup>	884 <sup>#</sup> 1	5 <sup>-</sup>
49.4 <sup>‡</sup> 5	2 <sup>+</sup>	714.3 <sup>#</sup> 7	1 <sup>-</sup>	1043 <sup>#</sup> 1	7 <sup>-</sup>
162.3 <sup>‡</sup> 7	4 <sup>+</sup>	774 <sup>#</sup> 1	3 <sup>-</sup>	1137 <sup>‡</sup> 1	12 <sup>+</sup>
333.5 <sup>‡</sup> 8	6 <sup>+</sup>	827 <sup>‡</sup> 1	10 <sup>+</sup>	1250 <sup>#</sup> 1	9 <sup>-</sup>
				1499 <sup>#</sup> 1	11 <sup>-</sup>

<sup>†</sup> Deduced by evaluators from a least-squares fit to  $\gamma$ -ray energies using  $\Delta E=0.5$  keV for all  $\gamma$  rays.

<sup>‡</sup> Band(A):  $K^\pi=0^+$  g.s. rotational band.

<sup>#</sup> Band(B):  $K^\pi=0^-$  Octupole vibrational band.

 $\gamma(^{232}\text{Th})$ 

$E_\gamma$	$I_\gamma$	$E_i(\text{level})$	$J_i^\pi$	$E_f$	$J_f^\pi$	$E_\gamma$	$I_\gamma$	$E_i(\text{level})$	$J_i^\pi$	$E_f$	$J_f^\pi$
49.4		49.4	2 <sup>+</sup>	0.0	0 <sup>+</sup>	249.2	1.0	1499	11 <sup>-</sup>	1250	9 <sup>-</sup>
60.1		774	3 <sup>-</sup>	714.3	1 <sup>-</sup>	269.7		827	10 <sup>+</sup>	557	8 <sup>+</sup>
109.7	1.0	884	5 <sup>-</sup>	774	3 <sup>-</sup>	310.0		1137	12 <sup>+</sup>	827	10 <sup>+</sup>
112.8		162.3	4 <sup>+</sup>	49.4	2 <sup>+</sup>	362 <sup>†</sup>	0.36 10	1499	11 <sup>-</sup>	1137	12 <sup>+</sup>
159.1	1.0	1043	7 <sup>-</sup>	884	5 <sup>-</sup>	422.7	1.54 23	1250	9 <sup>-</sup>	827	10 <sup>+</sup>
171.2		333.5	6 <sup>+</sup>	162.3	4 <sup>+</sup>	486.0	5.2 10	1043	7 <sup>-</sup>	557	8 <sup>+</sup>
206.6	1.0	1250	9 <sup>-</sup>	1043	7 <sup>-</sup>	550.4	21 5	884	5 <sup>-</sup>	333.5	6 <sup>+</sup>
223.6		557	8 <sup>+</sup>	333.5	6 <sup>+</sup>	(665.0)		714.3	1 <sup>-</sup>	49.4	2 <sup>+</sup>

<sup>†</sup> Placement of transition in the level scheme is uncertain.

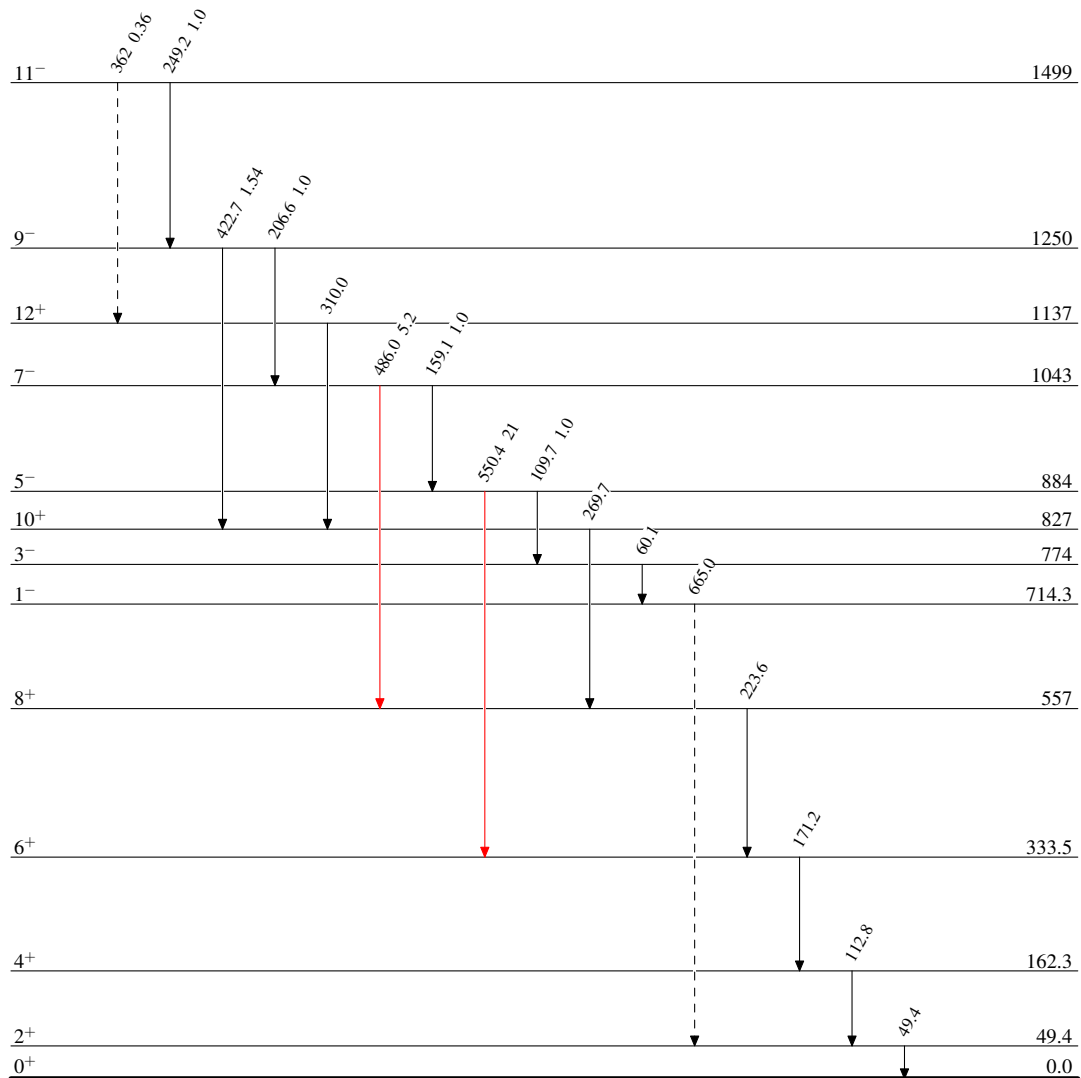
$^{232}\text{Th}(\text{d,pn}\gamma)$  1993Ac02

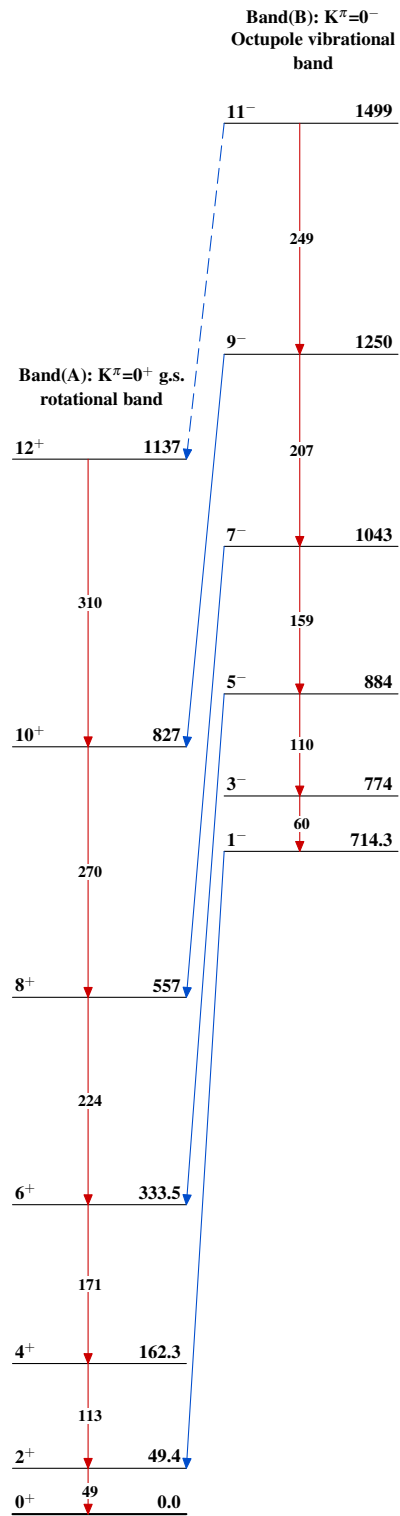
## Level Scheme

Intensities: Relative  $I_\gamma$ 

## Legend

- ▶  $I_\gamma < 2\% \times I_\gamma^{\text{max}}$
- ▶  $I_\gamma < 10\% \times I_\gamma^{\text{max}}$
- ▶  $I_\gamma > 10\% \times I_\gamma^{\text{max}}$
- - - -▶  $\gamma$  Decay (Uncertain)

 $^{232}\text{Th}_{90}^{142}$

$^{232}\text{Th}(\text{d,pn}\gamma)$  1993Ac02 $^{232}\text{Th}_{90}^{142}$